

TP 31 : INSTABILITÉS ET PHÉNOMÈNES NON LINÉAIRES

Bertrand Lescure Fessa Al Rokbi

Bibliographie : BNP 804 -87 722 724
Électromécanique Krob

Plan :

I) le pendule pesant : des linéaire au NL

- ① vérification de la dimensionnalité du capteur
- ② Pendule au petits angles : pendule simple
- ③ Pendule réel aux grands angles

II) Instabilité NL : oscillation autoexcitée de Van der Pol

- ④ Composant NL
- ⑤ Cycles limite
- ⑥ Caractérisation du comportement NL

III) Force et transition vers le chaos.

oscillations à double pente force

- ⑦ Oscillation à double pente en vrai : le pendule
- ⑧ Double pente électromécanique sur forces
- ⑨ Système de Poincaré

Le coude avant : du fonction au NL

1. Définition de la flexion du coude

La rotation du coude est mesurée par un goniomètre qui donne une tension à trame à l'origine nulle.

Si on se tient tout droit quand à la flexion des phénomènes à venir et pour étudier la courbure torse-angle, on parle de une position flage d'échelle.

MANIP : on relève les angles aux 2 jambes, on la maintient jusqu'à l'aide d'une jumpe.

- en isolant la tension de rotule au rotule

→ corde à rebondir $\Theta = \frac{F}{M}$

1 - corde dérivée + automatique, le résultat est le optimal

2 - tension extérieure à suffisance pour faire coïncider la Θ avec la rotation du corps.

→ on appelle une corde physique

$$\Theta = ax \vee a = \frac{x}{\Theta}$$

Le coude est étendu, il s'avise D'intérieur ; on passe à l'étude du coude.

2 - Coude du coude aux plus grands angles

L'équation de mouvement du coude donne $J\ddot{\Theta} + amg \sin \Theta = 0$

J : moment d'inertie
a : tangente
m : masse

→ pour des "plus grands" $\sin \Theta > 0$

$$\rightarrow J\ddot{\Theta} + amg \sin \Theta = 0 \rightarrow \text{solution en } \Theta(t) = \Theta_0 \sin(\omega t + \phi)$$

$$\text{avec } \omega_0 = \sqrt{\frac{amg}{J}} \rightarrow T = \frac{2\pi}{\omega_0} \text{ période normale}$$

MANIP : on mesure θ avec un goniomètre

pour 10 oscillations

$$T = \frac{t}{10}$$

Si la théorie des petits angles fournit un pendule isochrone (c'est à dire qui joue la même jeu de l'amplitude des oscillations) et donc notamment des conditions initiales).

3. Pendule "court" avec grands angles.

• variation de Borda

En réalité l'approximation des petits angles est seulement assez bonne pour considérer l'équation complète... au bout d'un TL dans un petit temps, c'est plus sage

$$\sin \theta = \theta - \frac{\theta^3}{6} + o(\theta^3)$$

$$\Leftrightarrow J\ddot{\theta} + m g a \theta = \frac{m g a \theta^3}{6} \quad \leftarrow \text{on voit le terme NL comme une source}$$

$$\Leftrightarrow \ddot{\theta} + \omega_0^2 (\theta - \frac{\theta^3}{6}) = 0$$

on se sentant ici au 1^{er} ordre, donc avec faibles nonlinéarités on peut utiliser la méthode des perturbations

donc l'équation de pendule n+1

$$\theta(t) = \theta_0 \sin(\omega t + \phi)$$

$$\dot{\theta}(t) = -\theta_0 \omega^2 \sin(\omega t + \phi)$$

$$\Rightarrow -\theta_0 \omega^2 \sin(\omega t + \phi) + \omega_0^2 (\theta_0 \sin(\omega t + \phi) - \frac{(\theta_0 \sin(\omega t + \phi))^3}{6}) = 0$$

$$\Leftrightarrow \theta_0 \sin(\omega t) (\omega_0^2 - \omega^2 - \omega_0^2 \theta_0^2) \pm \frac{\omega_0^2 \theta_0^3 \sin^3(\omega t)}{6} = 0 \quad || \omega_0^2 \neq 0, \theta_0 \neq 0$$

$$\Rightarrow \omega = \omega_0 (1 - \frac{\theta_0^2}{8})^{1/2}$$

négligeable (dans un 1^{er} temps)
(si θ_0 reste assez petit)

$$T = \frac{1}{\omega} = \frac{1}{\omega_0} (1 + \frac{\theta_0^2}{16}) \quad \text{pour TL}$$

formule de Borda

• test d'isochronisme, vérification de la formule

MANIP. pour vérifier la formule, on va lancer le pendule depuis un angle important (très important !) et accorder le signal sur synchronie et faire le pendule isochrone (on peut faire ça avec un pendule à simple pendule)

• mais en fait c'est trop long (fait n'importe quoi)
on peut monter

- que le pendule n'est plus isochrone → test d'isochronisme
que au synchronie, ça s'améliore

- On effectue une acquisition avec un échantillonnage sur 8 minutes
- Un petit échantillon de culture (cf. RUP 867) pourra donner directement toutes les périodes et toutes les amplitudes (tu fais alors l'intégration des TR dans le cadre de l'oscilloscopie ?)
- On trace la phase en fonction de l'amplitude (en RADIAN !) et on obtient une ligne courbe qui correspond graphiquement à $\theta = \Phi$
- On peut mesurer sa synchronie ou velocietatem à l'aide du rapport des angles multiples.
- ↳ Par contre, on a fait un échantillonnage slow en summant bien son résultat avec toutes les périodes que ça implique (un peu)
- On obtient donc un rapport (rapport d'amplitudes au synchronie) pour comparer un modèle de Boda avec l'expérience
- ⇒ au delà d'un certain angle on observe effectivement la théorie du 1^{er} ordre en atteignant cet angle à $\approx 80^{\circ}, 90^{\circ}$

En tout cas, Boda en jeu, il y a cette synchronisation, laquelle répond de l'amplitude choisi. Il s'agit d'une caractéristique des phénomènes N.

III. Enrichissement spectral et portrait de phase.

Le portrait de phase est un outil particulièrement adapté pour des systèmes N. maintenir leur synchronie.

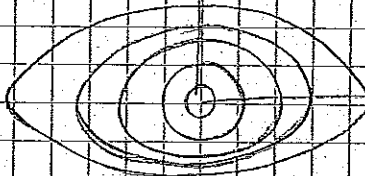
Pour l'obtenir, il suffit d'utiliser une acquisition sur un temps long car l'amortissement fournit tout ce qu'il nous connaît sur l'angle d'oscillation.

MANIP : on acquiert sur une période courte pour obtenir une oscillation. Il faut suffisamment une amplitude de 150° et on fait un tracé pour plusieurs angles.

→ on prépare

⇒ on obtient un jet ancien-tiel de combes

se traduisent par un fort décalage entre la forme d'origine et la forme déformée. Mais bien sûr cela dépend de la nature des courbes du régime.



malheureusement, le rapport ne permet pas d'estimer le régime

uniquement

Le résultat de l'arc est donc déformé par les NC, ces derniers aussi de leur côté vont déformer l'arc d'un système ; on va utiliser tout le long du montage pour mesurer certains.

On utilise aussi l'angenciel de centre (il est très !) pour faire une analyse spectrale de quelques oscillations.

→ on voit apparaître une composante à 3ω , qu'en dirait ingénierie ?
la formule de Borda, l'une des angles importants,
En fait, dans le cadre de la théorie, cette composante apparaît quand
la formule de Borda n'est plus vérifiée à au-delà des $80^{\circ}90^{\circ}$

1) instabilité NL : oscillation auto-sustenante de Van der Pol

de l'oscillateur de Van der Pol vérifie l'équation: $\ddot{s} - \epsilon \omega_0^2 (1 - (s^{1/2})^2) s + \omega_0^2 s = 0$

Etude de la non-linéarité

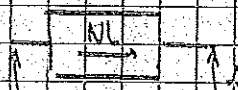
- pour $\epsilon=0$ équation de l'oscillateur harmonique terme d'amortissement NL

1. Composant NL:

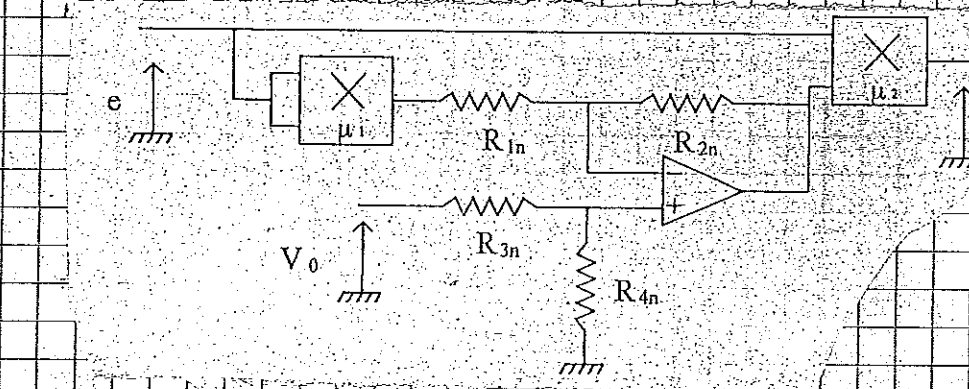
On veut donc créer un circuit électrique qui réalise mathématiquement la partie équation.

Il faut donc créer un composant qui engendre ce comportement NL sous forme

$$s = \alpha e + \beta e^3 \quad \text{avec}$$



→ c'est la résistance négative → nous en arrivons à l'équation que nous étions à la recherche de



$$\text{avec } \alpha = -\frac{R_4}{R_1 R_2} \times \frac{R_1 + R_2}{R_1} \times kV_0 \quad \alpha < 0$$

$$\beta = \frac{k^2 R_1}{R_2} \quad \beta > 0$$

Méthode: à l'oscille, on XY, on voit tout le temps cubique si on mettra l'influence de V_0 sur cette forme

on se place après à la racine de l'ordre ($V_0 = V$ jusqu'ici) et on mesure α et β et montrer que le事实 est bien fait

α est mesuré comme à partir à l'origine

β est relié au 2 autres forces du polymètre

$$\text{incertitudes: } \frac{\Delta \alpha}{\alpha} = \frac{\Delta(\Delta x)}{\Delta x} + \frac{\Delta(\Delta y)}{\Delta y} \rightarrow \Delta \alpha$$

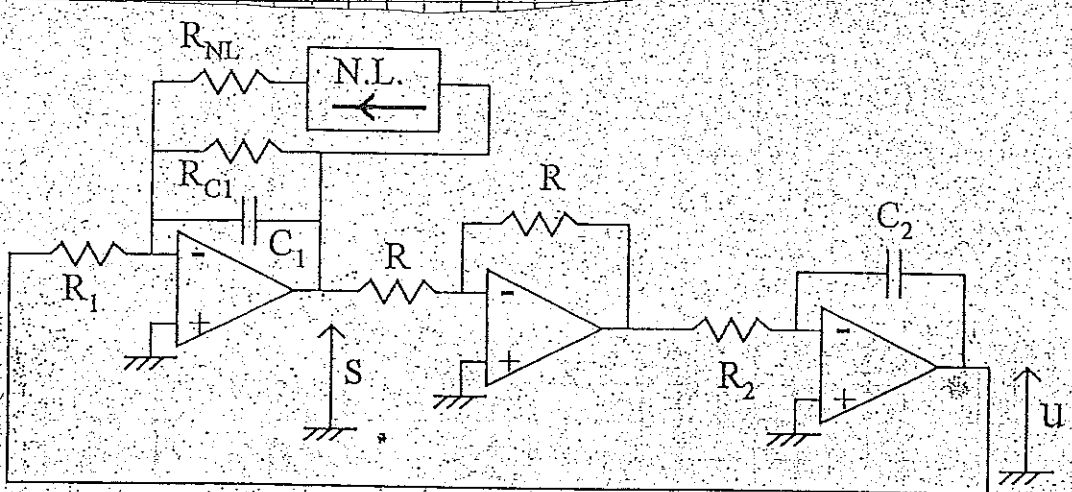
comme pour ΔS

$$\text{vs } \alpha_{th} = -0.367$$

$$/ \Delta \alpha = 0.122 \sqrt{2}$$

à l'origine

En memo de cours de l'oscillateur de Van der Pol qui échait maintenant à l'équation du même nom.



Pour plus de clarté on écrit l'équation avec les composants qui nous concernent :

$$S + \frac{R^2}{4} (R_{Cl} + R_{NL}) \omega_0 \cdot 1 \cdot (S^2) \cdot \frac{S}{S_0} + \frac{1}{R_1 R_2} = 0$$

pour $\frac{R_{Cl} + R_{NL}}{4}$ le terme d'amortissement est S_0 et il n'y a un point fixe sans oscillation car tout est amorti.

- pour $\frac{R_{Cl} + R_{NL}}{4} < 0$, ce terme est positif et des fréquences sont amplifiées pour donner des oscillations

MANIP : en memo des régimes instables avec 2 rebonds de R_{NL} qui entraîne $\rightarrow R_C$

en MAIN	en ex. oscillations	en XY	un cycle (+ déformé)
au pas			- ou pas (SIM)

Ceci illustre la notion de sauts (et de bifurcation).

- point fixe attracteur en $(0,0) \rightarrow (0,0)$ à $R_{NL} > 0$.
- un cycle limite pour $R_{NL} > 0$.

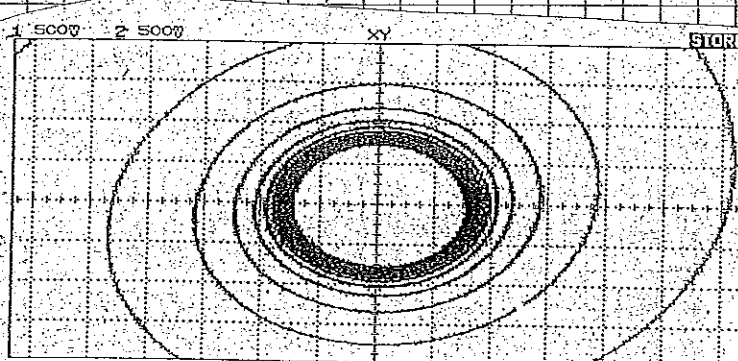
On voit d'ailleurs que le cycle en XY se déforme quand $R_{NL} > 0$ et de N.L.

On montre la convergence vers le cycle limite en partant de l'extérieur

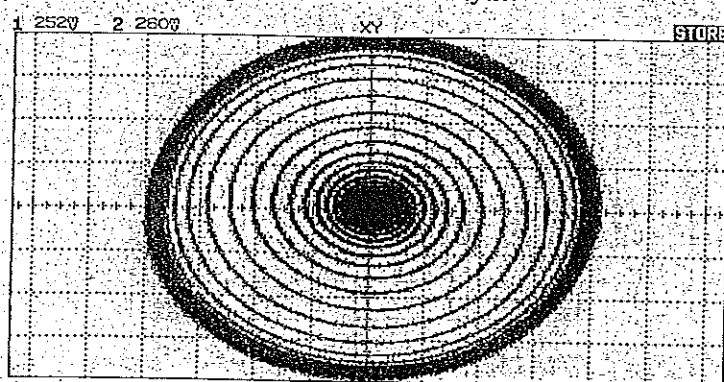
en partant du circuit ... un pas au temps.

→ on refermant le circuit le système converge vers le cycle en oscillant que ce soit de l'intérieur (vecteur non nul)

de l'intérieur (vecteur nul).



soit une convergence en partant à l'intérieur du cycle:



3. Quantification du comportement

bifurcation

On mentionne les 2 régimes de synchronisme, en cours maintenant de caractéristiques un peu plus à l'origine de l'unité et la fin de la non-linéarité.

MANIP: d'amplitude des oscillations dépend de l'écart au seuil, on peut constater ça

→ pour $\epsilon = (\epsilon_{\text{min}}, \epsilon_{\text{max}})$ valeurs de R_{NL} on observe à l'oscille l'amplitude

→ on obtient 3 familles de ce type d'amplitude en fonction de l'écart au seuil. → les bifurcations type Shurck

Il s'agit d'une bifurcation de Hopf en réalité, mais c'est une version 2D de la

classement, on voit que le nombre de spirale, le temps mis pour atteindre le cycle, dépend de l'écart au seuil ϵ .

→ notion de synchronisme critique.

On pour réduire plusieurs autres caractéristiques cosmologiques NU.

notamment celles où l'effet du seuil

MANIP : en montrant le temps où les oscillations atteignent 90% de leur valeur stable pour $\theta = \pi/2$.

→ prends alors de petits pas du seuil, et montre à l'oreille
que le tout du portrait de phase qui se déplace
→ oscillations qui persistent (en MANIP)

1) on ne connaît pas la loi mais ça a sur fait le nombrage à 1
avec 8 niveaux pour nous. (R.R. peut être)

l'augmentation de la force des oscillations

MANIP : à augmenter un peu plus vite fait

on voit on devrait trouver une fréquence entre ω_0 et ω'

$\omega = \dots$ cf les trois niveaux ! parce que dans nous ça change pas
pas du tout.

l'enrichissement spectral

MANIP : faire une FFT du signal pour un écart au seuil ± grand
écart du seuil → enrichissement

(même pas besoin de la FFT, on voit quel décalage bien qu'on
a plus un sinus et que le critère de phase n'est plus un joli rouge

III) Déroulé et manuel des la chaine : oscillateur cristal multivibr.

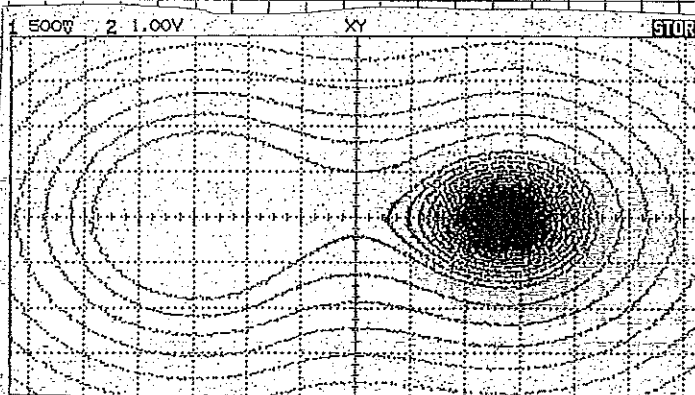
→ oscillateur cristal multivibr.

Pour introduire l'oscillateur cristal multivibr., on va utiliser une fonction graphique qui montre le comportement du DP de façon très visible.

MANIP. : sur cette, on voit les évolutions de chaque côté du fond de la cuve en montant qu'il y a 2 meilleurs points fixes stables qui se rencontrent au centre du circuit.

en montant aussi que l'acquisition est synchrone, qui a un certain nombre d'oscillations, le système choisit une des 2 positions en fonction des conditions initiales.

à acquisition en synchronie permet aussi de faire le trajet de phase en 2 fois pour faire la transition avec 2 phases.



ce qui se passe en commandant une tension qui va régulariser tout dépend des conditions initiales

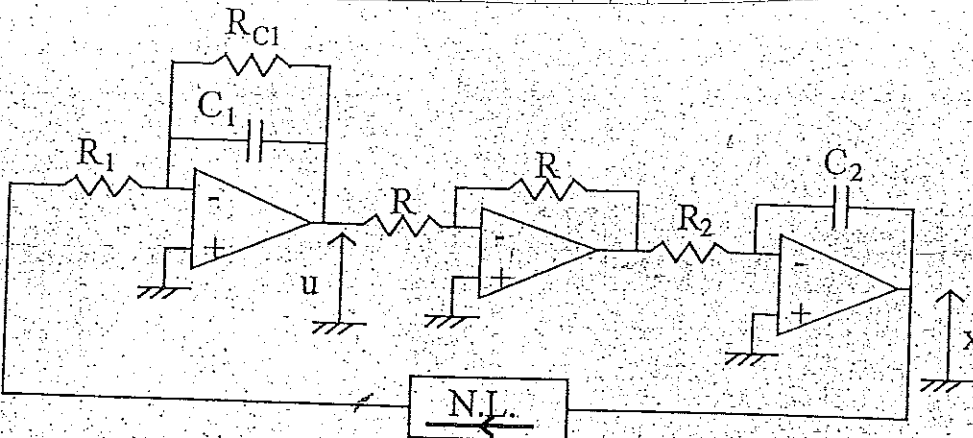
(→ l'oscillateur ici est tellement basé sur les trajectoires restant fermées)

VIS : En fait cette partie a pour rôle plus ou moins à familiariser avec les吸引子 comme introduction aux points fixes, attractors et bifurcations.

Bien moins ambitieux qu'ici, où il va vraiment sauter (c'est à dire) sur une hypothèse de faire de nuls... un peu plus après.

2. de cristal multivibr. en package

On va alors créer un oscillateur DP en électronique (en tout TUT faire) avec le circuit précédent, en chargeant le cristal de l'émetteur N.



D'équation du circuit donne : $i + \alpha u + \beta u + \gamma u^3 = 0$

MANIP : on XY en monte en état stable et on tourne le circuit à un endroit
où qu'en a la même tension que précédemment.

Chantant jusqu'à l'arrête, on peut quasiment observer de très des
oscillations \Rightarrow longues T_0 .

MANIP : jeu avec R₁ en faisant un GDT qui entraîne lui-même
un à -0.01, à -V₀ 2V

\rightarrow on peut faire une petite trajectoire toroïdale en un
en biseautant un peu l'amplitude et en V₀ (qui fait R₁)

en montant un couplage "chaotique" où les trajectoires deviennent
chaotiques (en mode XY)

C'EST LE CHAOS! (dans sens)

En fait, c'est malentendu! si si c'est juste que tu regardes sur
un graph 2D (oscilloscope) dans que le système est 3D. (X, Y et t), malentendu!

\rightarrow je parle de chose n'est pas adapté

\rightarrow parfois à la section de Painçons (MIAM!)

3. La section de Painçons

Si qu'on fait bien, c'est moyen de faire une section 3D suivant un plan
qui pour voir ce qu'on obtient; si le système exécute est chaotique
en couvant au m^e endroit à chaque fois. On va faire à chaque fois sur l'IR un
moment

MANIP : on va observer synchronisation + oscillation avec l'acquisition.

on va faire donc un peu en fait étude du DSD (fréquencelle - fréquence) et de sinus)

le sinus est à 100 Hz → on accueille à 100 Hz .

→ on prend donc 1 point par cycle.

le système est stable donc on fait en fait synchroniser le sinus avec son même point.

→ PERIODIQUE ! qui a dit que synchronisation = GSF ? quindi è questo che ce qu'en demandait !

→ regarder très précisément la fréq du GSF pour que l'acquisition au synchronisme donne une belle croix plate

fréq GSF

On se trouve en mode "CHAOS" et on accueille les deux il et X,

d'autre part il y a de l'ordre, avec une période synchronisme

⇒ on voit généralement apparaître un mouvement bien déterminé.

Le signal n'est donc pas du tout aléatoire, c'est juste qu'il faudra faire d'un attracteur échange qui en un certain sens à visualiser ou à identifier ce phénomène.

C'est là chaotique. Il faut faire non linéaire, un comportement "chaotique" qui remet totalement désordonné